

# รายการอ้างอิง

- Adachi, S. Simulated moving-bed chromatography for continuous separation of two components and its application to bioreactors. *J. Chromatog. A* 658 (1994): 271-282.
- Barber, J. A., Perkins, J. D., and Sargent, R. W. H. Boundary condition for flow with dispersion. *Chem. Engng. Sci.* 53 (1997): 1463-1464.
- Barker, P., E., England, K., and Vlachogiannis, G. Mathematical model for the fractionation of dextran on a semi-continuous counter-current simulated moving bed chromatography. *Chem. Eng. Res. Des.* 61 (1983): 241-247.
- Broughton, D. B. Production-scale adsorptive separations of liquid mixtures by simulated moving-bed technology. *Sep. Sci. Technol.* 19 (1984): 723-736.
- Cavoy, E., et. al. Laboratory-developed simulated moving bed for chiral drug separations. Design of the system and separation of tramadol enantiomers. *J. Chromatog. A* 769 (1997): 49-57.
- Charton, F., and R. M. Nicoud. Complete design of a simulated moving bed. *J. Chromatog. A* 702 (1995): 97.
- Chiang, A. S. T. Continuous chromatographic process based on SMB technology. *AIChE J.* 44 (1998): 1930-1932.
- Chiang, A. S. T. Equilibrium theory for simulated moving bed adsorption process. *AIChE J.*

44 (1998):2431-2441.

Chiang, A. S. T. Complete separation conditions for a local equilibrium TCC Adsorption unit.

*AIChE J.* 44 (1998): 332-340.

Ching, C. B., Chu, K. H., Hidajat, K., and Uddin, M. S. Comparative study of flow schemes

for a simulated counter current adsorption separation process. *AIChE J.* 38 (1992):

1744-1750.

Ching, C. B., Chu, K. H., and Hidajat, K. Multicomponent separation using a column

switching chromatographic method. *AIChE J.* 34 (1994): 1834-1849.

Ching, C. B., Ruthven, D. M., Experimental study of simulated counter-current adsorption

system-I Isothermal steady state operation. *Chem. Engng. Sci.* 40 (1985):877-885.

Ching, C. B., Ruthven, D. M., Experimental study of simulated counter-current adsorption

system-II Transient response. *Chem. Engng. Sci.* 40 (1985): 877-885.

Ching, C. B., Ruthven, D. M., and Hidajat, R. Experimental study of simulated counter-

current adsorption system-III Sorbex operation. *Chem. Engng. Sci.* 40 (1985):

1411-1417.

Ching, C. B., and Ruthven, D. M. Experimental study of simulated counter-current adsorption

system-IV Non isothermal operation. *Chem. Engng. Sci.* 40 (1985): 3063-3071.

Ching, C. B., and Ruthven, D. M. An improved adsorption process for the production of high

fructose syrup. *AIChE J.* 32 (1986): 1876-1880.

Ching, C. B., et al. Experimental study of a simulated counter-current adsorption system-

V comparison of resin and zeolite adsorbents for fructose-glucose separation at high

concentration. *Chem. Engng. Sci.* 42 (1987): 2547-2555.

- Ching, C. B., Ho, C., and Ruthven, D. M. Experimental study of a simulated counter-current adsorption system-VI Nonlinear systems. *Chem. Engng. Sci* 43 (1988): 703-711.
- Ching, C. B., and Lim, B. G. Preparative resolution of praziquantel enantiomers by simulated counter-current chromatography. *J. Chromatog. A* 643 (1993): 215-219.
- Ching, C. B., and Lu, Z. P. Parabolic intraparticle concentration profile assumption in modeling and simulation of nonlinear simulated moving-bed separation processes. *Chem. Engng. Sci.* 53 (1998): 1311-1315.
- Czok, M., and Guiochon, G. Comparison of the results obtained with different models for the simulation of preparative chromatography *Comput. chem. Engng.* 14 (1990): 1435-1443.
- de Roset A. J., Neuzil R. W., and Broughton D. B., in *Percolation Processes: Theory and Practice* (Edited by Rodrigues A. E. and Tondeur D) NATO ASI No. 33 Sitjthoff and Noordhoff, Alphen van Rijn, Holland, 1981
- Dunnebier, G., Weirich, I., and Klatt, K.-U. Computationally efficient dynamic modelling and simulation of simulated moving bed chromatographic process with linear isotherms. *Chem. Engng. Sci.* 53 (1998): 2537-2546.
- Francotte, E., and Richert, P. Applications of simulated moving bed chromatography to the separation of the enantiomers of chiral drugs. *J. Chromatog. A* 769 (1997) 101-107.
- Guiochon, G., Shirazi, S. G., and Katti, A. *Fundamentals of preparative and nonlinear chromatography*. Boston: Academic Press, 1994.
- Hidajat, K., Ching, C. B., and Ruthven, D. M. Experimental study of a simulated counter-current adsorption processes: a theoretical study of the effect of sub-dividing the adsorbent bed. *Chem. Engng. Sci.* 41 (1986b): 2953-2956.

- Hotier, G. Physically meaningful modeling of the 3-zone and 4-zone simulated moving bed process. *AIChE J.* 42 (1996): 154-160.
- Kaczmariski, K., and Antos, D. Fast finite difference method for solving multicomponent adsorption chromatography models. *Comput. chem. Engng.* 20 (1996): 1271-1276.
- Kubota, K., and Hayashi, S. Preparative chromatographic separation with moving feed ports. *J. Chromatog. A* 658 (1994): 259-270.
- Liapis, A. I., and Rippin, D. W. T. Simulation of binary adsorption in continuous counter-current operation in comparison with other operating mode. *AIChE J.* 25 (1979): 455-460.
- Ma, Z., and Wang, N.-H., L. Standing wave analysis of SMB chromatography: Linear systems. *AIChE J.* 43 (1997): 2488-2508.
- Mazzotti, M., Storti, G., and Morbidelli, M. Design of countercurrent adsorption separation processes: 2. Multicomponent systems. *AIChE J.* 40 (1994): 1825-1842.
- Mazzotti, M., Storti, G., and Morbidelli, M. Design of countercurrent adsorption separation processes: 3. Nonstoichiometric systems. *AIChE J.* 42 (1996): 2784-2796.
- Mazzotti, M., Storti, G., and Morbidelli, M. Optimal operation of simulated moving bed units for nonlinear chromatographic separations. *J. Chromatog. A* 769 (1997): 3-24.
- Mazzotti, M., Storti, G., and Morbidelli, M. Design of countercurrent adsorption separation processes: 4. Desorbent in the feed. *AIChE J.* 43 (1997): 64-72.
- Morbidelli, M., et al. Role of the desorbent in bulk adsorption separations application to a chlorotoluene isomer mixture. *Chem. Engng. Sci.* 40 (1985): 1155-1167.
- Nakamura, S. *Applied numerical methods in C.* NJ: Prentice Hall, 1993.
- Negawa, M., and Shoji, F. Optical resolution by simulated moving bed adsorption technology.

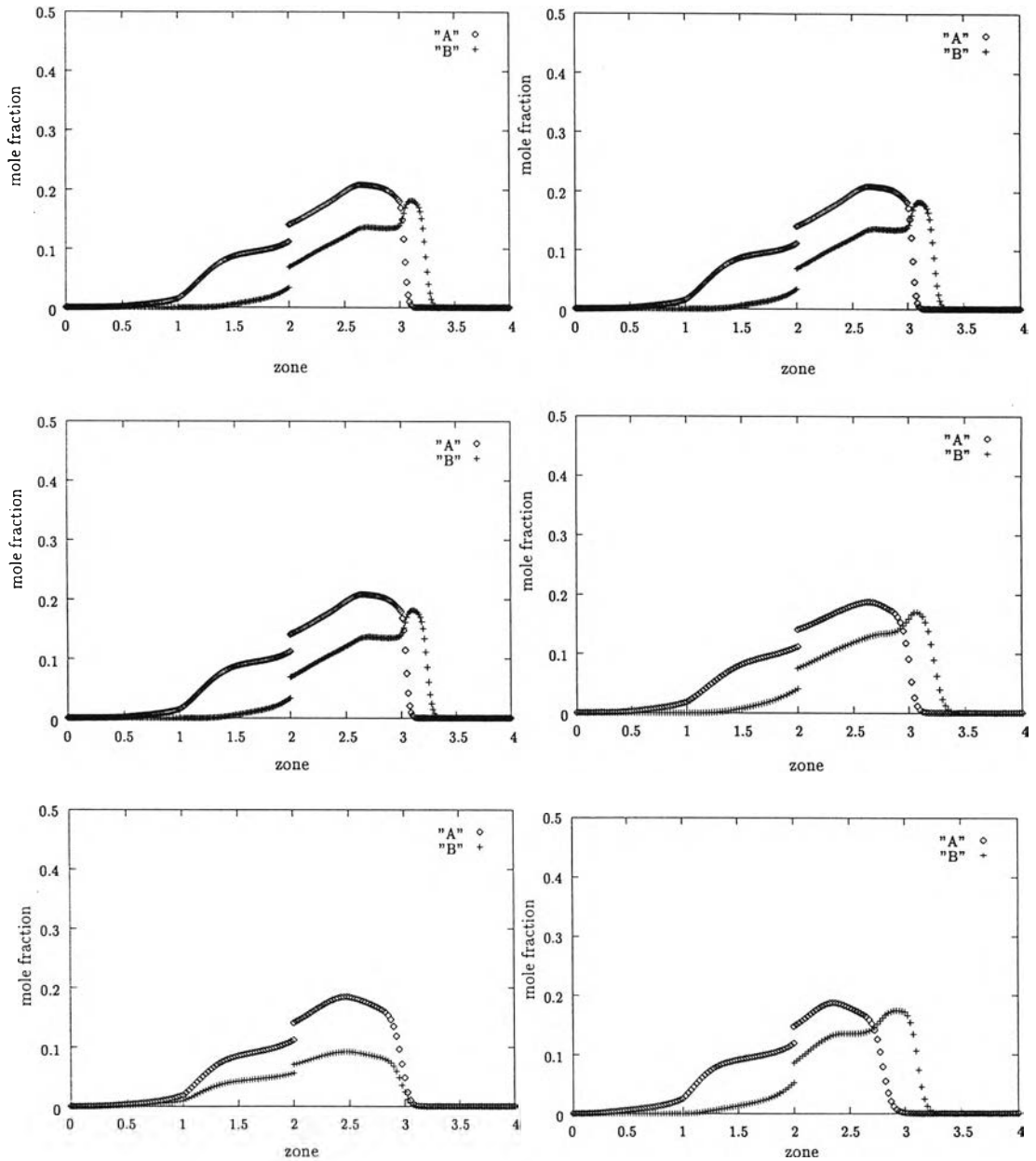
- J. Chromatog. A* 590 (1992): 113-117.
- Oliver, M. G., and Jadot, R. Adsorption of light hydrocarbons and carbon dioxide on silica gel.  
*J. Chem. Eng. Data* 42 (1997): 230-233.
- Pais, L. S., Loureiro, J. M., and Rodrigues, A. E. Separation of 1,1'-bi-2-naphthol enantiomers by continuous chromatography in simulated moving bed. *Chem. Engng. Sci.* 52 (1997): 245-257.
- Rhee, H. K., and Amundson, N. R. Analysis of multicomponent separation by displacement development. *AIChE J.* 28 (1982): 423-433.
- Rodrigues, A. E., et. al. Separation of enantiomers of 1a,2,7,7a-tetrahydro-3-methoxynaphtha-(2,3b)-oxirane by liquid chromatography: laboratory-scale elution chromatography and modelling of simulated moving bed. *J. Chromatog. A* 702 (1995): 223-231.
- Ruthven, D. M. *Principles of Adsorption and Adsorption Process* New York:John Wiley , 1984.
- Ruthven, D. M., and Ching, C. B. Counter-current and simulated counter-current adsorption separation process. *Chem. Engng. Sci.* 44 (1989): 1011-1038.
- Schulte, M., et. al. Comparison of the specific productivity of different chiral stationary phases used for simulated moving bed chromatography. *J. Chromatog. A* 769 (1997): 93-100.
- Storti, G., Baciochi, R., Mazzotti, M., and Morbidelli, M. Design of optimal operating conditions of simulated moving bed adsorptive separation units. *Ind. Eng. Chem. Res.* 34 (1995): 288-301.
- Storti, G., Masi, M., Carra, S., and Morbidelli, M. Optimal design of multicomponent adsorption separation process involving nonlinear equilibria. *Chem. Engng. Sci.* 44 (1989): 1329-1345.
- Storti, G., Masi, M., Paludetto, R., Morbidelli, M., and Carra, S. Adsorption separation

- processes: countercurrent and simulated counter current operations. *Comput. chem. Engng.* 12 (1988): 473-482.
- Storti, G., Mazzotti, M., Morbidelli, M., and Carra, S. Robust design of binary counter-current adsorption separation process. *AIChE J.* 39 (1993): 471-492.
- Sun., L. M., Le Quere, P., and Leven, M. D. Numerical simulation of diffusion-limited PSA process models by finite difference methods. *Chem. Engng. Sci.* 51 (1996): 5341-5352.
- Tien, Chi. *Adsorption calculations and modeling*. Boston: Butterworth-Heinemann, 1994.
- Tonkovich, A. L. Y., and Carr, R. W. Experimental evaluation of designs for the simulated countercurrent moving bed separator. *AIChE J.* 42 (1996): 683-690.
- Yun, T., Zhong, G., and Guiochon, G., Simulated moving bed under linear conditions: Experimental vs. calculated results. *AIChE J.* 43 (1997): 935-945.
- Yun, T., Zhong, G., and Guiochon, G., Experimental study of the influence of the flow rate in SMB chromatography. *AIChE J.* 43 (1997): 2970-2983.
- Zhong, G., and Guichon, G. Optimum liquid and solid-phase velocity for minimum shock layer thickness in counter-current chromatography. *J. Chromatog. A* 721 (1996): 187-201.
- Zhong, G., and Guichon, G. analytical solution for the linear ideal model of simulated moving bed chromatography. *Chem. Engng. Sci.* 51 (1996): 4307-4319.
- Zhong, G., and Guichon, G. Simulated moving bed chromatography. Effects of axial dispersion and mass transfer under linear conditions. *Chem. Engng. Sci.* 52 (1997): 3117-3132.
- Zhong, G., and Guichon, G. steady state analysis of simulated moving bed chromatography using the linear, ideal model. *Chem. Engng. Sci.* 53 (1998): 1121-1130.
- Zhong, G., and Smith, M. S., and Guiochon, G. Effect of the flow rates in linear ideal simulated moving bed chromatography. *AIChE J.* 43 (1997): 2960-2969.

ภาคผนวก ก

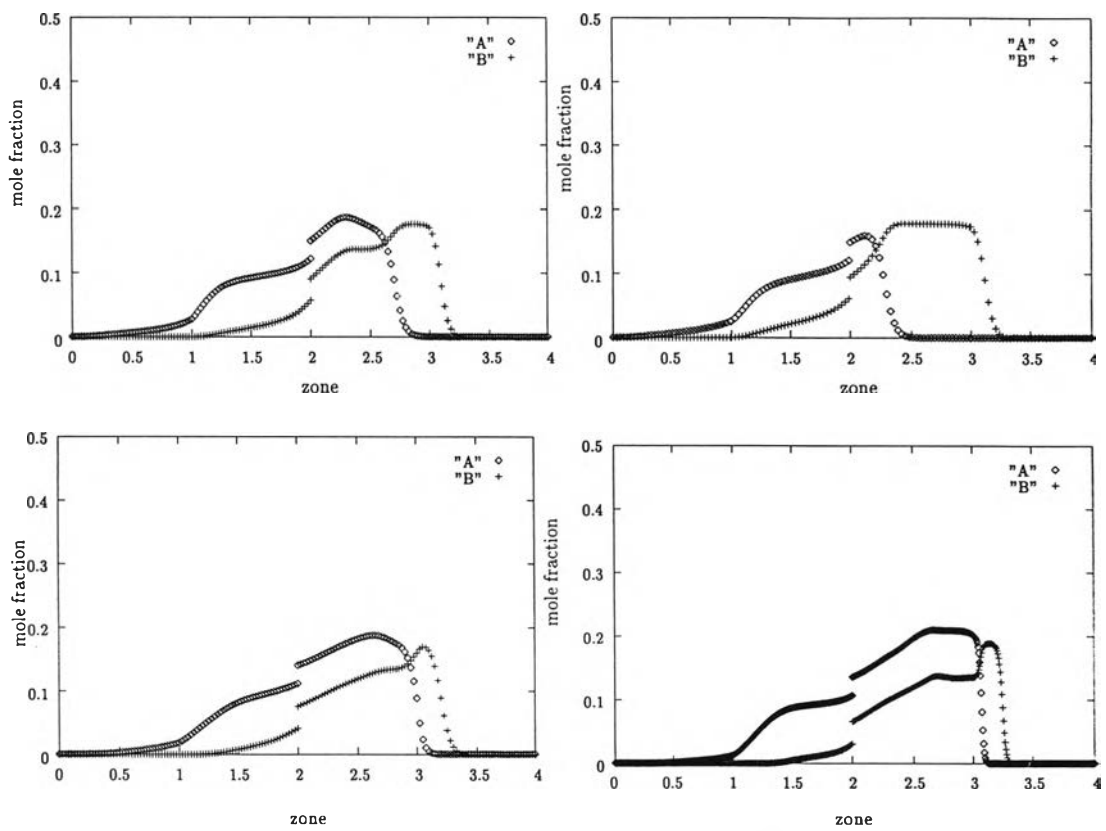
ลักษณะการกระจายความเข้มข้นของ  
ระบบ SMB ที่สภาวะคงตัว ณ เวลาท้าย  
คาบของการเลื่อนตำแหน่งดิงสารเข้า  
ออกจากระบบ

### ก.1 ตัวคายการดูดซับเป็นคาร์บอนไดออกไซด์



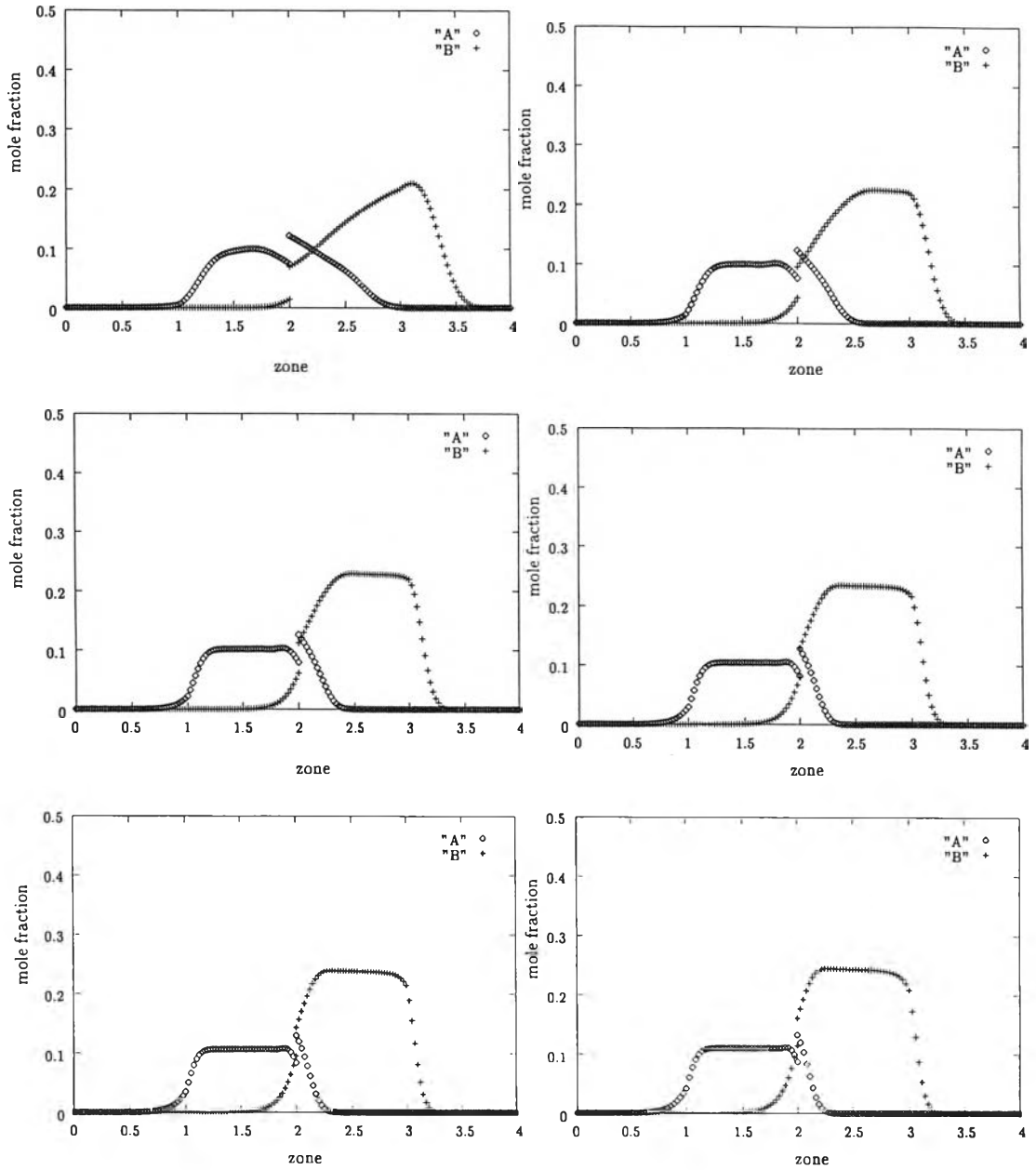
รูปที่ ก.1: แสดงการกระจายความเข้มข้น ของระบบ SMB เมื่อใช้ตัวคายการดูดซับเป็นคาร์บอนไดออกไซด์ (1): ใช้  $m_j$  เท่ากับระบบ TMB (2): ใช้  $m_j$  เท่ากับระบบ 1.05 เท่าของระบบ TMB (3): ใช้  $m_j$  เท่ากับระบบ 1.1 เท่าของระบบ TMB (4): ใช้  $m_j$  เท่ากับระบบ 1.15 เท่าของระบบ TMB (5): ใช้  $m_j$  เท่ากับระบบ 1.2 เท่าของระบบ TMB (6): ใช้  $m_j$  เท่ากับระบบ 1.25 เท่าของระบบ TMB



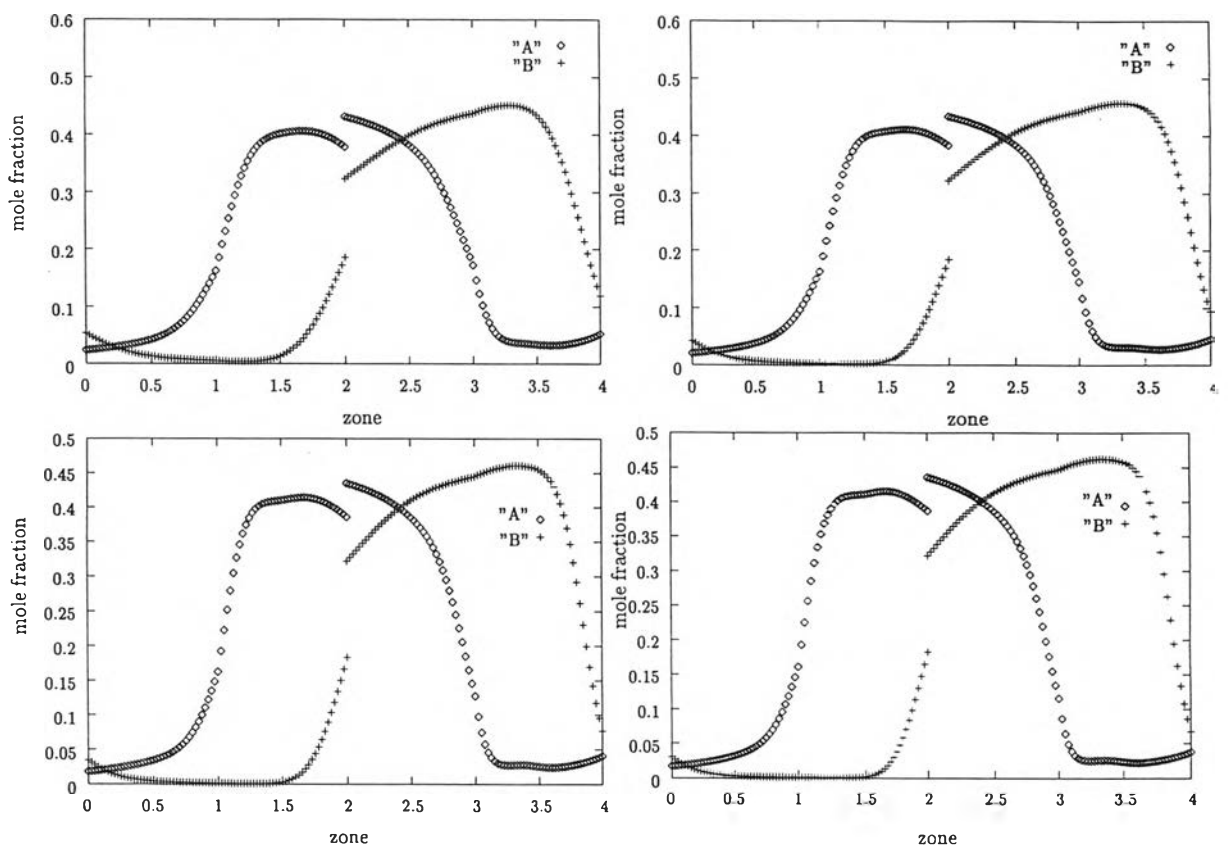


รูปที่ ก.2: แสดงการกระจายความเข้มข้นของระบบ SMB เมื่อใช้ตัวคายการดูดซับเป็นคาร์บอนไดออกไซด์ (1): ใช้คอลัมน์ย่อยเป็น 2 (2): ใช้คอลัมน์ย่อยเป็น 3 (3): ใช้คอลัมน์ย่อยเป็น 4 (4): ใช้คอลัมน์ย่อยเป็น 5

## ก.2 ตัวคายการดูดซับเป็น มีเทน

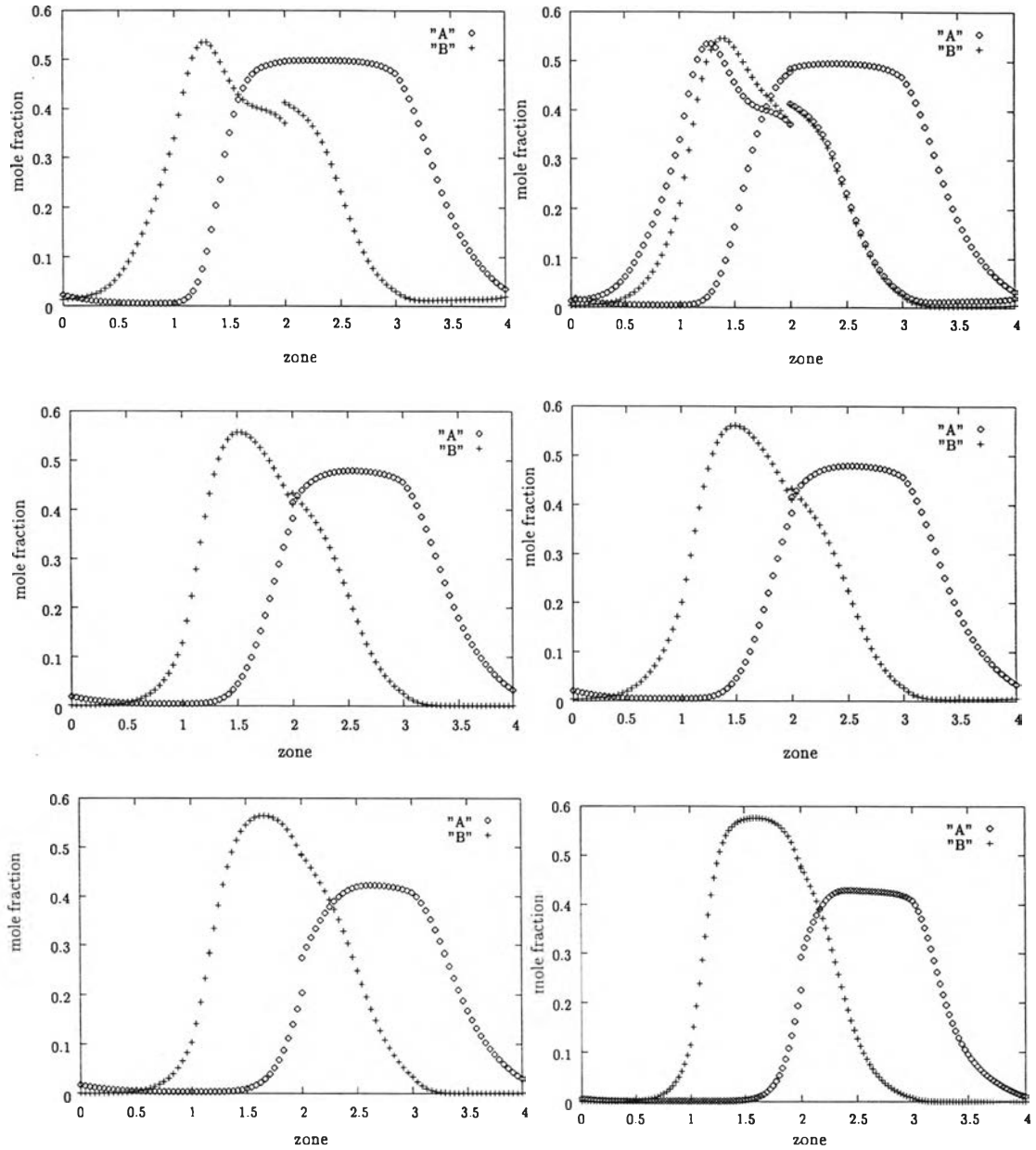


รูปที่ ก.3: แสดงการกระจายความเข้มข้นของระบบ SMB เมื่อใช้ตัวคายการดูดซับเป็นคาร์บอนไดออกไซด์ (1): ใช้คอลัมน์ย่อยเป็น 1 (2):ใช้คอลัมน์ย่อยเป็น 2 (3): ใช้คอลัมน์ย่อยเป็น 3 (4):ใช้คอลัมน์ย่อยเป็น 4 (5): ใช้คอลัมน์ย่อยเป็น 5 (6):ใช้คอลัมน์ย่อยเป็น 6



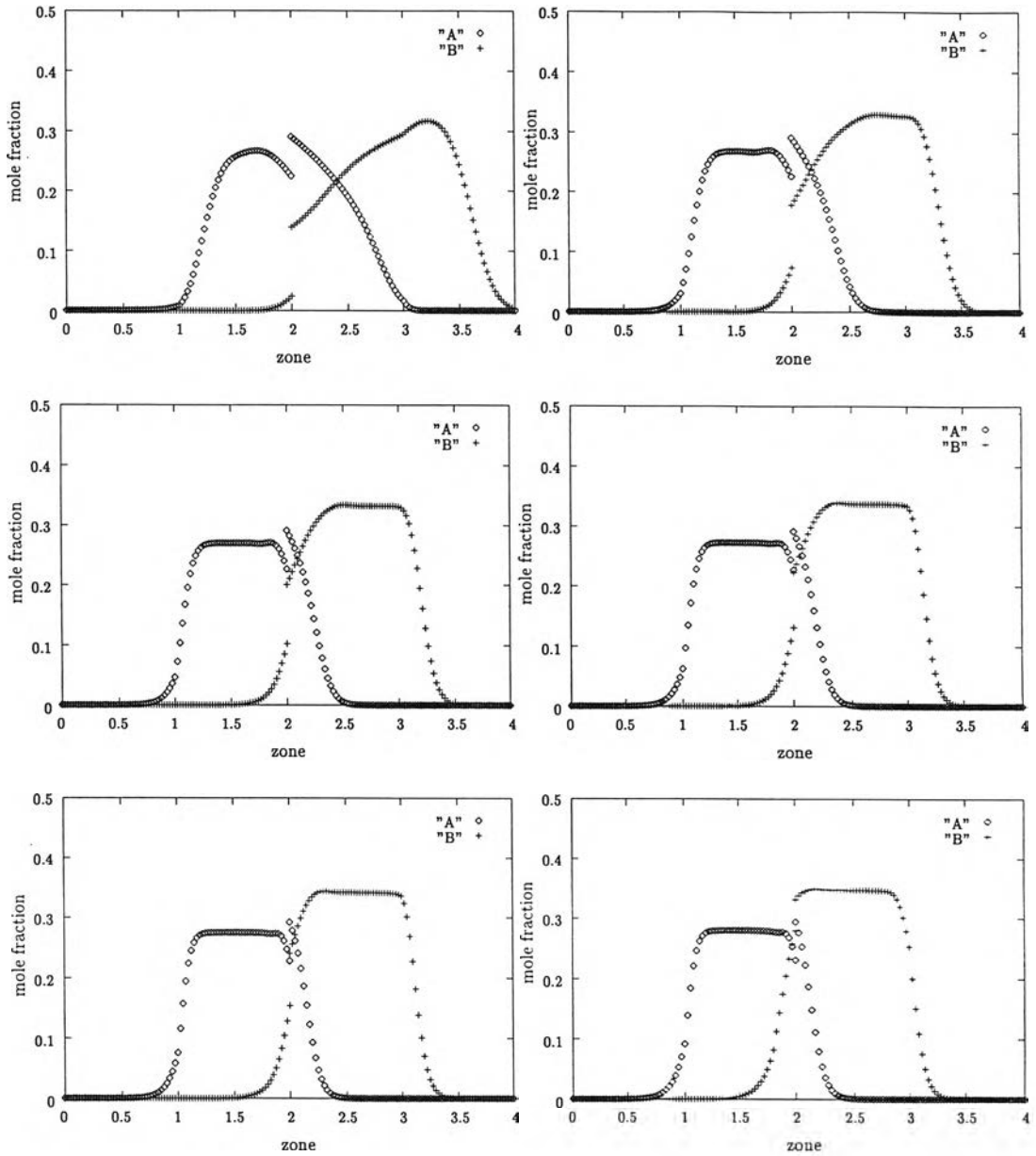
รูปที่ ก.4: แสดงการกระจายความเข้มข้นของระบบ SMB เมื่อใช้ตัวคายการดูดซับเป็นมีเทน (1): ใช้ความยาวแต่ละโซนเป็น 25 cm (2): ใช้ความยาวแต่ละโซนเป็น 50 cm (3): ใช้ความยาวแต่ละโซนเป็น 100 cm (4): ใช้ความยาวแต่ละโซนเป็น 200 cm

### ก.3 ตัวคายการดูดซับเป็น ไนโตรเจน

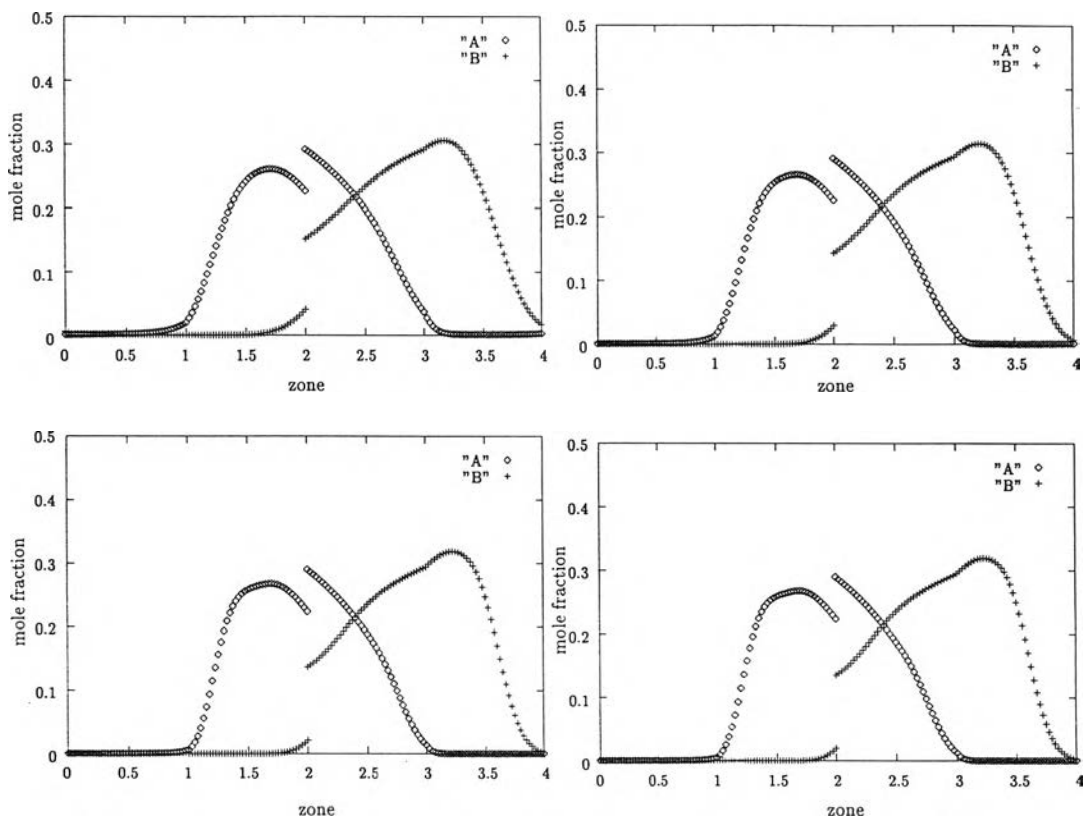


รูปที่ ก.5: แสดงการกระจายความเข้มข้นของระบบ SMB เมื่อใช้ตัวคายการดูดซับเป็นไนโตรเจน (1): ใช้  $m_j$  เท่ากับระบบ TMB (2): ใช้  $m_j$  เท่ากับระบบ 1.05 เท่าของระบบ TMB (3): ใช้  $m_j$  เท่ากับระบบ 1.1 เท่าของระบบ TMB (4): ใช้  $m_j$  เท่ากับระบบ 1.15 เท่าของระบบ TMB (5): ใช้  $m_j$  เท่ากับระบบ 1.2 เท่าของระบบ TMB (6): ใช้  $m_j$  เท่ากับระบบ 1.25 เท่าของระบบ TMB

### ก.4 ตัวคายการดูดซับเป็น โพรเพน



รูปที่ ก.6: แสดงการกระจายความเข้มข้นของระบบ SMB เมื่อใช้ตัวคายการดูดซับเป็นโพรเพน (1): ใช้คอลัมน์ย่อยเป็น 1 (2): ใช้คอลัมน์ย่อยเป็น 2 (3): ใช้คอลัมน์ย่อยเป็น 3 (4): ใช้คอลัมน์ย่อยเป็น 4 (5): ใช้คอลัมน์ย่อยเป็น 5 (6): ใช้คอลัมน์ย่อยเป็น 6



รูปที่ ก.7: แสดงการกระจายความเข้มข้นของระบบ SMB เมื่อใช้ตัวคายการดูดซับเป็นโพรเฟน (1): ใช้คอลัมน์ยาวแต่ละโซนเป็น 25 cm (2): ใช้คอลัมน์ยาวยาวแต่ละโซนเป็น 50 cm (3): ใช้คอลัมน์ยาวยาวแต่ละโซนเป็น 200 cm (4): ใช้คอลัมน์ยาวยาวแต่ละโซนเป็น 400 cm

# ประวัติผู้เขียน

นายรัชชัย พรราวแจ้ง เกิดเมื่อวันที่ 13 พฤษภาคม พ.ศ. 2514 จบการศึกษาระดับปริญญาบัณฑิตจาก  
ภาควิชาเคมี คณะวิทยาศาสตร์ มหาวิทยาลัยเชียงใหม่ ปี พ.ศ. 2538 และเข้าศึกษาต่อในระดับบัณฑิต  
ศึกษา ภาควิชาวิศวกรรมเคมี คณะวิศวกรรมศาสตร์ จุฬาลงกรณ์มหาวิทยาลัย

